

การศึกษาและประเมินสมรรถนะปีกหมุนที่ทำงานในโถเวอร์โหมดด้วยทฤษฎีเบลดอิลิเมนท์

Performance Evaluation of Rotary Wings in Hovering Mode Using Blade Element Theory

สัมพันธ์ ไชยเทพ และ รัชชัย พัฒนา

ภาควิชาวิศวกรรมเครื่องกล คณะวิศวกรรมศาสตร์ มหาวิทยาลัยเชียงใหม่ 50200

โทร 053-942004, โทรสาร 053-941352, E-mail sumpun@eng.cmu.ac.th

Sumpun Chaitep and Tawatchai Patchana

Department of Mechanical Engineering, Faculty of Engineering, Chiang Mai University 50200, Thailand

Tel. 053-942004, Fax. 053-941352, E-mail sumpun@eng.cmu.ac.th

บทคัดย่อ

บทความนี้เป็นการนำเสนอการประเมินสมรรถนะปีกหมุนที่ทำงานในลักษณะโถเวอร์ริงโหมดด้วยทฤษฎีเบลดอิลิเมนท์ การวิเคราะห์ได้พิจารณาถึงปัจจัยการเห็นี่ยาน้ำหล่อเข้าสู่ปีกของอากาศ โดยสมรรถนะของปีกหมุนจะเน้นไปที่ค่าแรงขับตามแนวแกนเพลาที่ปีกหมุนสร้างขึ้นและค่าแรงบิดที่ต้องการของปีกหมุน การประเมินได้เบรียบเทียบกับผลที่ได้จากการทดสอบ โดยปีกหมุนที่ทำการทดสอบมีรูปร่างของภาคหน้าตัดปีกแบบ NACA 0012-B แปลนปีกเป็นรูปสี่เหลี่ยมผืนผ้า คordinance 0.10 เมตร ความยาวปีกที่ใช้ 0.4 0.5 0.6 0.7 และ 0.8 เมตร ไม่มีการบิดของปีกและสภาวะของปีกหมุนมีมุมพิทซ์เท่ากับ 0 ถึง 30 องศา ความเร็วรอบของปีกหมุน 0 ถึง 500 รอบต่อนาที ผลกระทบการประเมินและเปรียบเทียบพบว่าแรงขับที่ได้จากการประเมินมีค่าผิดพลาดสัมพัทธ์โดยเฉลี่ย 13.0 14.4 23.4 33.4 37.2 และ 39.9 เปอร์เซ็นต์ที่ค่ามุมพิทซ์ 5 10 15 20 25 และ 30 องศาตามลำดับ และแรงบิดที่ได้จากการประเมินมีค่าผิดพลาดสัมพัทธ์โดยเฉลี่ย 10.6 20.1 27.4 27.9 20.9 และ 12.3 เปอร์เซ็นต์ ที่ค่ามุมพิทซ์ 5 10 15 20 25 และ 30 องศาตามลำดับ

ABSTRACT

This paper presents the result from performance evaluation of hovering mode rotary wings. The blade element theory was used in this analysis. The rotary wing performances were expressed as thrust and torque. The theoretical was performance compared with the experiment data. Experiment was performed by the testing set of a rotary wings comprised of 2 blades. Section of the blades was an airfoil type NACA 0012-B, the blade was a rectangular shape with a constant cord of 0.10 m and varying the span at 0.4, 0.5, 0.6, 0.7 and 0.8 m long. The blade was non-twist and fixed to a 0.1285 m hub diameter. The range of studying is combination of 0-30 degree of pitch angle and 0-500 rpm rotation. The results revealed that thrust analysis were

13.0, 14.4, 23.4, 33.4, 37.2 and 39.9 percents of error from the experiment data. Torque analysis were 10.6, 20.1, 27.4, 27.9, 20.9, and 12.3 percents of error from experiment data. Whereas the percents of error from both comparisons were performed under the similar conditions at 5, 10, 15, 20, 25 and 30 degree of pitch angle, accordingly.

บทนำ

อากาศยานสามารถแบ่งได้สองชนิดตามต้นกำเนิดแรงยกคืออากาศยานที่ใช้ปีกยึดแน่นกับลำตัว และที่ใช้ปีกหมุน ซึ่งอากาศยานที่ใช้ปีกหมุนมีสมรรถนะในการบินไปข้างหน้าไม่ดีนัก แต่ลักษณะเด่นคือสามารถขึ้นลงในที่แคบได้และสามารถอยู่ตัวในอากาศได้ ทำให้เอลิคอปเตอร์ถูกใช้ในงานต่างๆ ทั่วไป

การที่ทราบค่าแรงขับ และแรงบิดของปีกหมุนนั้นจะเป็นประโยชน์อย่างมากในการออกแบบหรือการเลือกใช้งานปีกหมุน และการวิเคราะห์หาแรงขับและแรงบิดของปีกหมุนด้วยทฤษฎีเบลดอิลิเมนท์นั้นมีความยุ่งยาก ดังนั้นการใช้คอมพิวเตอร์เข้ามาช่วยในการคำนวนจะทำให้ง่ายต่อการประเมินหาแรงขับและแรงบิดของปีกหมุน

1.1 วัตถุประสงค์ของการศึกษา

สร้างโปรแกรมคอมพิวเตอร์เพื่อประเมินสมรรถนะปีกหมุนที่วิเคราะห์ด้วยทฤษฎีเบลดอิลิเมนท์

2. ทฤษฎีที่เกี่ยวข้อง

2.1 คุณสมบัติทางอากาศพลศาสตร์ของปีก

คุณสมบัติทางอากาศพลศาสตร์ของภาคตัดปีกแบบ NACA 0012-B [11] นั้นค่าสัมประสิทธิ์แรงยกและสัมประสิทธิ์แรงด้าน สามารถเขียนความสัมพันธ์กับมุมปะทะได้คือ

$$C_L = -0.000355 \times \alpha^2 + 0.077671 \times \alpha$$

$$-4^\circ < \alpha < 21.7^\circ$$

$$C_L = 3.21 \times 10^{-3} \times \alpha^2 - 194 \times 10^{-3} \times \alpha + 3.84 \quad (1)$$

$$-21.7^\circ < \alpha < 30^\circ$$

$$C_D = 0.000365 \times \alpha^2 + 0.000240 \times \alpha + 0.010290$$

$$-4^\circ < \alpha < 21^\circ$$

$$C_D = 857 \times 10^{-6} \times \alpha^2 - 12.1 \times 10^{-3} \times \alpha + 92.1 \times 10^{-3}$$

$$-21.7^\circ < \alpha < 30^\circ$$

(2)

(3)

(4)

ความเร็วลัพธ์ของอากาศที่ให้หลเข้าสู่แต่ละส่วนเล็กๆ ของใบพัด
หาได้จาก

$$V_R = \sqrt{V_{ia}^2 + (r\Omega(1-b))^2} \quad (11)$$

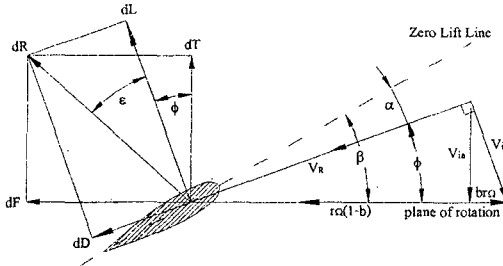
$$V_{ia} = r\Omega(1-b)\tan\phi \quad (12)$$

2.2 ทฤษฎีเบลดอิลิเมนท์ (Blade Element Theory)

ทฤษฎีเบลดอิลิเมนท์ คือ จารณาส่วนเล็กๆ ของปีกที่มีความหนา dr มีความยาวคอร์ด c มีอากาศให้หลเข้ามาด้วยความเร็วลัพธ์ V_R ในทิศทางที่ทำมุม ϕ กับระนาบการหมุน มีมุมพิทช์ (Pitch Angle) β และมีมุมปะทะ α

$$\alpha = \beta - \phi$$

(5)



รูป 2 แสดงความเร็วอากาศและแรงกระทำบนแพนอากาศเล็กๆ ของปีก
ที่มา : Douglas [7]

เมื่อกระจายแรงยกและแรงด้านให้อยู่แนวตั้ง จะได้ความเร็วที่เกิดขึ้นคือ แรงขับ dT และแรงในระนาบการหมุน dF [7]

$$dT = \frac{1}{2} \rho V_R^2 (C_L \cos\phi - C_D \sin\phi) dr \quad (6)$$

$$dF = \frac{1}{2} \rho V_R^2 (C_L \sin\phi + C_D \cos\phi) dr \quad (7)$$

$$dQ = \frac{1}{2} \rho V_R^2 (C_L \sin\phi + C_D \cos\phi) r dr \quad (8)$$

2.3 ความเร็วอากาศในวนหลังใบพัด

มวลอากาศที่ให้หล่านในใบพัดจะหมุนไปตามการหมุนของใบพัด การเปลี่ยนแปลงความเร็วเชิงมุมของอากาศเป็น $2b\Omega$ ซึ่งแรงบิดสามารถหาได้จากการเปลี่ยนโน้มเน้นตั้งเชิงมุมของอากาศที่กระทำต่อภาคตัดกริดใน dr ที่รัศมี r [10]

$$dQ = \rho 2\pi dr V_{ia} r^3 2b\Omega \quad (9)$$

เมื่อประยุกต์เข้ากับทฤษฎีเบลดอิลิเมนท์ จะได้

$$\frac{b}{(1-b)} = \frac{N(C_L \sin\phi + C_D \cos\phi)}{8\pi^2 \sin\phi \cos\phi} \quad (10)$$

2.4 การคำนวณหาแรงขับและแรงบิดของปีกหมุน

การวิเคราะห์หาค่าแรงขับและแรงบิดด้วยทฤษฎีเบลดอิลิเมนท์ โดยสมมุติให้ความเร็วอากาศให้เข้ามีทิศทางตั้งฉากกับความเร็วและใช้การหาค่าตอบด้วยวิธีการทำซ้ำ (Iteration)

เมื่อทราบตัวแปรต่างๆ จากการหาค่าตอบด้วยวิธีการทำซ้ำ จะ

สามารถหาอัตราการเปลี่ยนแปลงแรงขับ $\left(\frac{dT}{dr}\right)$ และแรงบิด $\left(\frac{dQ}{dr}\right)$

เทียบกับการเปลี่ยนแปลงรัศมีได้จากสมการ (6) และ (8) และทำการอินทิเกรตตลอดความยาวปีกจะได้แรงขับ และแรงบิดของปีกหมุน

$$T = \int_{r_{root}}^{r_{tip}} \left(\frac{dT}{dr} \right) dr \quad (13)$$

$$Q = \int_{r_{root}}^{r_{tip}} \left(\frac{dQ}{dr} \right) dr \quad (14)$$

3 วิธีการดำเนินงาน

3.1 โปรแกรมคอมพิวเตอร์สำหรับการคำนวณหาแรงขับ และแรงบิด

โปรแกรมเขียนด้วยภาษา Visual Basic 5 ตามแผนผังที่แสดง ดังรูปที่ 3 ข้อมูลของตัวแปรที่คำนวณได้เก็บบันทึกไว้ในแฟ้มฐานข้อมูล ชนิด Microsoft Access

3.2 การประเมินหาแรงขับและแรงบิดของปีกหมุน

การประเมินหาแรงขับและแรงบิดของปีกหมุนได้ทำที่สภาพปีกหมุนดังนี้

ก. ปีกหมุนที่ 2 กลีบใบ ภาคหน้าตัดของปีกเป็นแอร์ฟอยล์ชุด N.A.C.A.0012-B ขนาดคอร์ด 0.1 เมตร คงที่ตลอดความยาวปีก ความยาวปีก 0.4 0.5 0.6 0.7 และ 0.8 เมตร รัศมีดูม่ำปีกขนาด 0.1285 เมตร

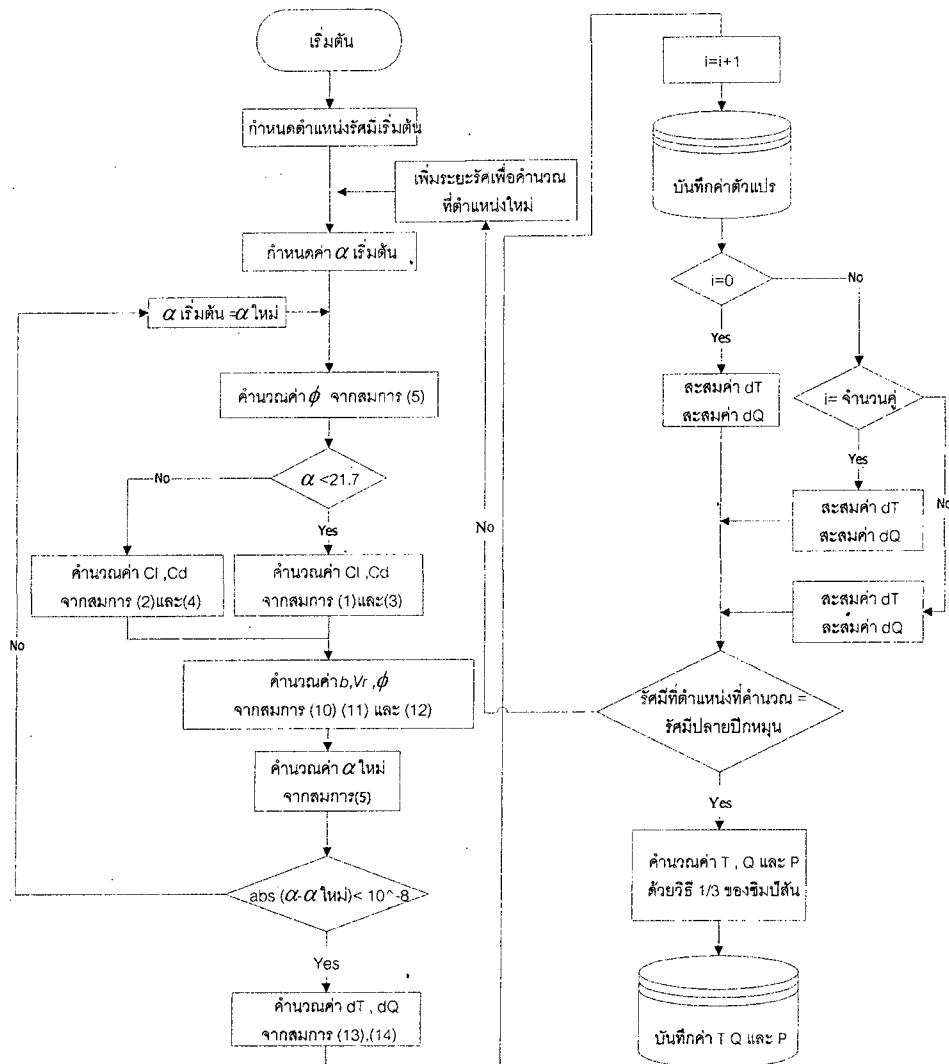
ข. ปีกหมุนทำงานในสภาพมุมพิทช์ 0 ถึง 30 องศาความเร็วรอบของปีกหมุน 0 ถึง 500 รอบต่อนาที

ค. อุณหภูมิ 28 องศาเซลเซียส และความดันบรรยากาศ 743 มิลลิเมตรปรอท

4. ผลการประเมินสมรรถนะของปีกหมุน

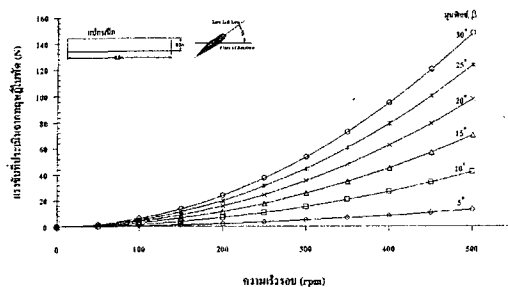
4.1 ผลการประเมินด้วยโปรแกรมคอมพิวเตอร์

ผลจากการดำเนินการประเมินหาแรงขับและแรงบิดของปีกหมุน โดยใช้โปรแกรมคอมพิวเตอร์สามารถแยกได้ดังนี้



รูปที่ 3 แสดงแผนผังของโปรแกรมในส่วนของการคำนวณที่วิเคราะห์ด้วยทฤษฎีเบลดอวิลเมนท์

4.1.1 ผลการประเมินแรงขับและแรงบิดของปีกหมุน

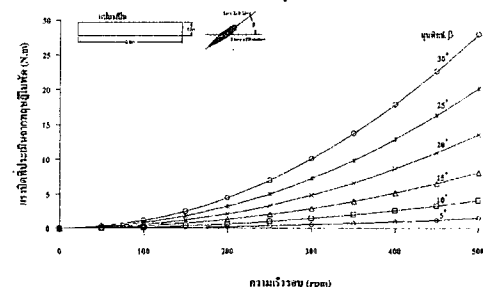


รูปที่ 4 แสดงตัวอย่างผลการประเมินแรงขับของปีกหมุนที่มีมุมพิทักษ์ 5

ถึง 30 องศา อัตราส่วนสูตรคร 8

ในที่นี้นำเสนอเฉพาะตัวอย่างของผลการประเมินแรงขับของปีกหมุนที่มีมุมพิทักษ์ 5 ถึง 30 องศา อัตราส่วนสูตรเท่ากับ 8 เท่านั้น ที่ค่าอัตราส่วนสูตรคือ 4 5 6 และ 7 ก็มีแนวโน้มไปในทางเดียว กัน จากการประเมินพบว่าแรงขับเพิ่มขึ้นตามมุมพิทักษ์ที่เพิ่มขึ้นและ

ความเร็วในการหมุนที่เพิ่มขึ้น โดยแรงขับมีความสัมพันธ์กับความเร็ว รอบในลักษณะโพลิโนเมียลตีกี 2 และมีค่าสูงสุดที่ตำแหน่งมุมพิทักษ์ 30 องศา ความเร็วรอบ 500 รอบต่อนาที



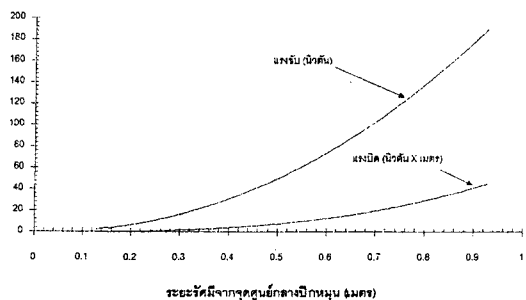
รูปที่ 5 แสดงตัวอย่างผลการประเมินแรงบิดของปีกหมุนที่มีมุมพิทักษ์ 5 ถึง 30 องศา อัตราส่วนสูตรคร 8

ตัวอย่างของผลการประเมินแรงบิดของปีกหมุนที่มีมุมพิทักษ์ 5 ถึง 30 องศา อัตราส่วนสูตรเท่ากับ 8 และดังรูปที่ 5 ทั้งนี้ที่ค่าอัตราส่วนสูตรคือ 4 5 6 และ 7 ก็มีแนวโน้มของค่าแรงบิดไปในทิศ

ทางเดียวทันกันทั้งหมด จากผลการประมีนพบว่าแรงบิดเพิ่มขึ้นเมื่อมุ่มพิทช์เพิ่มขึ้นหรือเมื่อความเร็วรอบการหมุนเพิ่มขึ้น โดยแรงบิดมีความสัมพันธ์กับความเร็วรอบในลักษณะโพลิโนเมียลลิติกที่ 2 และมีค่าสูงสุดที่ตำแหน่งมุ่มพิทช์ 30 องศา ความเร็วรอบ 500 รอบต่อนาที

4.2 ลักษณะการกระจายแรงขับและแรงบิดตามความยาวปีก

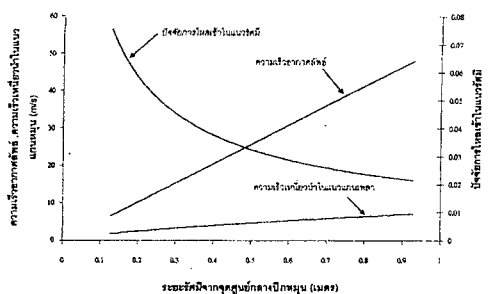
ตัวอย่างของการกระจายแรงขับและแรงบิดตามความยาวปีกของปีกหมุนที่มีมุ่มพิทช์ 30 องศา อัตราส่วนสนธิรศ 8 ความเร็วรอบ 500 รอบต่อนาที แสดงดังรูปที่ 6 ที่ค่ามุ่มพิทช์และค่าอัตราส่วนสนธิรศอื่นนั้นแนวโน้มนี้มีลักษณะคล้ายกันทั้งหมด แรงขับและแรงบิดเพิ่มขึ้น เมื่อระยะรัศมีเพิ่มขึ้น ซึ่งเพิ่มขึ้นในลักษณะโพลิโนเมียลลิติกที่ 2



รูปที่ 6 แสดงตัวอย่างของการกระจายแรงขับและแรงบิดตามความยาวปีกของปีกหมุนที่มีมุ่มพิทช์ 30 องศา อัตราส่วนสนธิรศ 8 ความเร็วรอบ 500 รอบต่อนาที

4.3 ลักษณะการกระจายของความเร็วและปัจจัยการให้เลี้ยวในแนวรัศมีตลอดความยาวปีก

ตัวอย่างของการกระจายของความเร็วอากาศและปัจจัยการให้เลี้ยวในแนวรัศมีตลอดความยาวปีกของปีกหมุนที่มีมุ่มพิทช์ 30 องศา อัตราส่วนสนธิรศ 8 ความเร็วรอบ 500 รอบต่อนาที แสดงดังรูปที่ 7



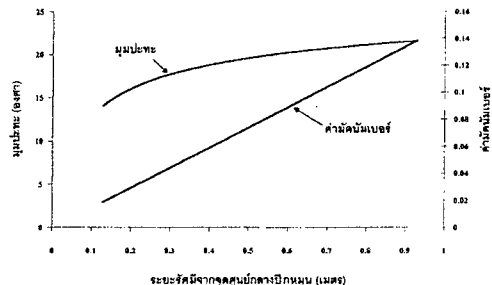
รูปที่ 7 แสดงตัวอย่างการกระจายขององค์ประกอบของความเร็วอากาศ ตามความยาวปีกของปีกหมุนที่มีมุ่มพิทช์ 30 องศา อัตราส่วนสนธิรศ 8 ความเร็วรอบ 500 รอบต่อนาที

ปัจจัยการให้เลี้ยวในแนวรัศมีนั้นมีขนาดเล็กซึ่งมีมากที่สุดอยู่ที่ตำแหน่งโคนปีกและจะค่อยๆลดลงจนถึงปลายปีกซึ่งค่ามากที่สุดในศึกษาเท่ากับ 0.075 ความเร็วหนี่ยวนำในแนวแกนเพลามีแนวโน้มเพิ่มขึ้นจากโคนปีกจนถึงปลายปีกโดยมีค่ามากที่สุดในช่วงการศึกษาเท่ากับ 7 เมตรต่อวินาทีที่ปลายปีก และความเร็วอากาศลัพธ์มีแนวโน้มเพิ่มในลักษณะเส้นตรงจากโคนปีกถึงปลายปีกมีค่าสูงสุด 48.1 เมตรต่อวินาที และให้เห็นว่าความเร็วอากาศลัพธ์มีองค์ประกอบส่วน

ใหญ่มาจากการเร็วของปีกเอง เพราะปัจจัยการให้เลี้ยวในแนวรัศมีและความเร็วหนี่ยวนำในแนวแกนมีค่าน้อย ทำให้แนวโน้มความเร็วลัพธ์เทียบกับระยะรัศมีของปีกมีลักษณะเป็นเส้นตรง

4.4 ลักษณะการกระจายของมุมปะทะและค่ามัคคันเบอร์ตลอดความยาวปีก

ตัวอย่างของการกระจายของมุมปะทะและค่ามัคคันเบอร์ตลอดความยาวปีกของปีกหมุนที่มีมุ่มพิทช์ 30 องศา อัตราส่วนสนธิรศ 8 ความเร็วรอบ 500 รอบต่อนาที แสดงดังรูปที่ 8



รูปที่ 8 แสดงตัวอย่างการ分布ของมุมปะทะและค่ามัคคันเบอร์ตามความยาวปีกของปีกหมุนที่มีมุ่มพิทช์ 30 องศา อัตราส่วนสนธิรศ 8 ความเร็วรอบ 500 รอบต่อนาที

มุมปะทะมีแนวโน้มเพิ่มขึ้นตามระยะรัศมีปีกจากโคนถึงปลายปีก โดยยังมีค่าน้อยกว่าค่าของมุ่มพิทช์ ซึ่งในการทดลองประมีนสมรรถนะในช่วงสภาวะที่ได้กำหนดไว้มุมปะทะสูงสุดที่ประมีนได้มีค่า 21.57 องศา ที่ตำแหน่งปลายปีกของปีกหมุนที่มีมุ่มพิทช์ 30 องศา อัตราส่วนสนธิรศ 8 ความเร็วรอบ 500 รอบต่อนาที ค่ามัคคันเบอร์ที่ได้มีค่าน้อยและเพิ่มขึ้นตามระยะรัศมีของปีกในลักษณะเส้นตรง

4.5 เปรียบเทียบผลการประมีนกับผลจากการทดสอบบนแท่นทดสอบ

ทดสอบ

แรงขับและแรงบิดที่ได้จากการประมีนด้วยทฤษฎีบลอดอลิเมนท์ เมื่อนำมาเปรียบเทียบกับแรงขับและแรงบิดที่ได้จากการทดสอบ พบว่าค่าผิดพลาดสัมพัทธ์มีแนวโน้มที่เปลี่ยนแปลงให้เห็นอย่างชัดเจนเมื่อค่ามุ่มพิทช์ของปีกหมุนเปลี่ยนไป ค่าผิดพลาดสัมพัทธ์เฉลี่ยที่มุ่มพิทช์ต่างๆแสดงดังตารางที่ 1

ตารางที่ 1 แสดงค่าผิดพลาดสัมพัทธ์ของการประมีน

มุ่มพิทช์	ค่าผิดพลาดสัมพัทธ์ของแรงขับ (%)	ค่าผิดพลาดสัมพัทธ์ของแรงบิด (%)
5	20.33	12.69
10	13.99	20.77
15	29.65	21.07
20	42.74	21.38
25	47.77	13.71
30	51.27	4.71

จากการเปรียบเทียบพบว่าแรงขับที่ได้จากการทดสอบนี้มีค่าต่ำกว่าแรงขับที่ได้จากการประมีน และค่าแรงบิดที่ได้จากการ

ทดสอบมีค่ามากกว่าที่ได้จากการประเมินโดยการประเมินแรงขับของปีกหมุนที่มีหน้าตัดแบบ เอ็นแอยซีอ 0012-บี ครั้งนี้ได้ผลใกล้เคียงกับการทดสอบมากที่สุดที่สภาวะมุมพิทช์ 5 และ 10 องศา โดยมีค่าผิดพลาดสัมพัทธ์อยู่ในช่วง 0-25% แต่สำหรับแรงบิดประเมินได้ใกล้เคียงกับการทดสอบที่มุมพิทช์ 5 และ 30 องศาโดยค่าผิดพลาดสัมพัทธ์อยู่ในช่วง 0-15 % ค่าผิดพลาดจากการประเมินของแรงขับและแรงบิดนั้นมีแนวโน้มคล้ายกันในช่วงมุมพิทช์ 5 ถึง 15 องศาคือเพิ่มขึ้นเมื่อมุมพิทช์เพิ่มขึ้น แต่ในช่วงมุมพิทช์ 20 ถึง 30 องศา ค่าผิดพลาดของแรงขับและแรงบิดมีแนวโน้มตรงข้ามกันคือ ค่าผิดพลาดของแรงขับเพิ่มขึ้นเมื่อมุมพิทช์เพิ่มขึ้นแต่ค่าผิดพลาดของแรงบิดลดลงเมื่อมุมพิทช์เพิ่มขึ้น

ความผิดพลาดของแรงขับและแรงบิดที่ได้จากการประเมินด้วยทฤษฎีวอร์เกอร์ครั้งนี้ยังมีค่าผิดพลาดอยู่มากเมื่อเทียบกับการทดสอบเมื่อพิจารณาผลการประเมินและแนวโน้มของค่าผิดพลาดสัมพัทธ์จะอธิบายได้จากปัจจัยต่างๆ ดังนี้

ก. ผลกระทบความหมายของปีก

ความหมายของปีกมีผลกระทบผลต่อคุณสมบัติทางอากาศ พลศาสตร์ของแอร์ฟอยล์[3] โดยคุณสมบัติทางอากาศพลศาสตร์ของแอร์ฟอยล์ที่ใช้ประเมินในการศึกษาครั้งนี้เป็นข้อมูลของแอร์ฟอยล์ที่มีผิวเรียบ แต่ในทางปฏิบัติปีกที่ใช้ในการทดสอบนั้นเป็นปีกที่มีผิวมีความรุ่มริ้วจัดที่ไม่ได้นำมาคิดด้วยในการประเมิน ทำให้ค่าคุณสมบัติทางอากาศพลศาสตร์ของแอร์ฟอยล์ของปีกที่สร้างขึ้นจึงเปลี่ยนไปจากข้อมูลที่ใช้ในการประเมิน จึงเป็นสาเหตุหนึ่งที่ทำให้เกิดค่าผิดพลาด และค่าผิดพลาดที่เกิดจากปัจจัยนี้จะแปรผันกับค่ามุมพิทช์ เพราะคุณสมบัติทางอากาศพลศาสตร์ของแอร์ฟอยล์ที่เปลี่ยนแปลงไปจะต้องเปลี่ยนไปตามค่ามุมปะทะดังนั้นเมื่อมุมปะทะเปลี่ยนไปตามมุมพิทช์แล้วจึงเป็นผลให้ค่าผิดพลาดที่เกิดขึ้นเปลี่ยนไปตามมุมพิทช์

ข ผลกระทบคุณสมบัติทางอากาศพลศาสตร์ที่เป็น 2 มิติ

คุณสมบัติทางอากาศพลศาสตร์ของปีกที่ใช้ในการประเมินสมรรถนะครั้งนี้เป็นคุณสมบัติที่ได้จากการทดลองที่การเหลื่อยของอากาศผ่านปีกเป็นแนวเส้นตรง (Translation Flow) ซึ่งการเวิเคราะห์ด้วยทฤษฎีเบลดอลิเมน์ทและทฤษฎีวอร์เก็นน์ได้พิจารณาส่วนเล็กๆ ของปีกแบบ 2 มิติ ซึ่งเป็นสมมติฐานของทฤษฎีเบลดอลิเมน์ท แต่สำหรับการทำงานของปีกหมุนนั้นแผนอากาศที่เคลื่อนที่ในลักษณะหมุนรอบแกนเพลาซึ่งการเหลื่อยของอากาศผ่านปีกในลักษณะ Rotation Flow สัมพัทธ์กับปีก และไม่เป็น 2 มิติ ดังนั้นคุณสมบัติทางอากาศพลศาสตร์ของแอร์ฟอยล์ที่ใช้ในการประเมินสมรรถนะของปีกหมุนจึงไม่ตรงกับการทำงานจริงของปีกด้วยเหตุผลดังกล่าวจึงมีส่วนทำให้การประเมินสมรรถนะผิดพลาดได้

5 สรุปผลการศึกษา

ในการศึกษาครั้งนี้ประเมินสมรรถนะทางแรงขับและแรงบิดของปีกหมุนด้วยทฤษฎีเบลดอลิเมน์ท ซึ่งทำโดยการใช้โปรแกรมคอมพิวเตอร์ที่สร้างขึ้น ผลการประเมินแรงขับและแรงบิดปีกหมุนที่มีหน้าตัดแอร์ฟอยล์แบบ NACA 0012-B ซึ่งปีกมีค่าคงที่ 0.1 เมตร และอัตราส่วนสนทรอค 4 5 6 7 และ 8 โดยมีรัศมีของดูมไปพัดเท่ากับ

0.1285 เมตร ในช่วงของมุมพิทช์ 5 ถึง 30 องศา ความเร็วของ 0-500 รอบต่อนาที พนักงานทั้งแรงขับและแรงบิดที่ได้จากการประเมินมีลักษณะของแนวโน้มเพิ่มขึ้นตามความเร็วของปีกหมุนที่เพิ่มขึ้นคล้ายกับที่แนวโน้มที่ได้จากการทดสอบแต่เมื่อขนาดของแรงต่างกันซึ่งมีค่าผิดพลาดสัมพัทธ์โดยเฉลี่ย 20.33 13.99 29.65 42.74 47.77 และ 51.27 เปอร์เซ็นต์ที่ค่ามุมพิทช์ 5 10 15 20 25 และ 30 องศาตามลำดับ และในส่วนการประเมินแรงบิดของปีกหมุนการวิเคราะห์ด้วยทฤษฎีวอร์เก็น มีค่าผิดพลาดสัมพัทธ์ 12.69 20 77 21.07 21.38 13.71 และ 4.71 เปอร์เซ็นต์ ที่ค่ามุมพิทช์ 5 10 15 20 25 และ 30 องศาตามลำดับ สภาวะที่ประเมินได้สอดคล้องกับผลการทดสอบมากที่สุดคือที่มุมพิทช์ 10 องศา สำหรับแรงขับ และที่มุมพิทช์ 5 และ 30 องศา สำหรับแรงบิด

บรรณานุกรม

- [1] ชนัญชัย จำรงค์ภักดี และธาริน สิกธิธรรมชารี. (2540). Microsoft Visual Basic Version 5.0. กรุงเทพฯ: ส.อเรียเพรส 1989.
- [2] สัมพันธ์ ไชยเทพ. (2535). อากาศพลศาสตร์เบื้องต้น. เชียงใหม่: โครงการจัดตั้งสาขาวิชาวิศวกรรมยานยนต์และการบินของภาคคณวิเคราะห์ มหาวิทยาลัยเชียงใหม่.
- [3] Abbott, I.H. and Von Doenhoff, A.E. (1959). Theory of Wing Sections. New York: Dover Publications.
- [4] Anderson, J.D. Jr. (1991). Fundamentals of Aerodynamics. 2nd Edition. Singapore: McGraw-Hill.
- [5] Bramwell, A. R. S. (1976). Helicopter Dynamics. London: Edward Arnold.
- [6] Chapra, S.C. and Canale, R.P. (1990). Numerical Methods for Engineers. Singapore: McGraw-Hill.
- [7] Douglas, A.R. and Saarlas, M. (1996). An Introduction to Aerospace Propulsion. New Jersey: Prentice-Hall.
- [8] Hurt, H.H., Jr. (1965). Aerodynamics for Naval Aviators. Washington: Aviation Supplies & Academics.
- [9] Houghton, E. L. and Brock, A. E. (1970). Aerodynamics for Engineering Students. London: Edward Arnold.
- [10] McCormick, B.W. (1995). Aerodynamics Aeronautics and Flight Mechanics. New York: John Wiley & Sons.
- [11] Rice, M. S. (1971). Handbook of Airfoil Sections for Light Aircraft. Wisconsin: Hector Cervantes.

สัญลักษณ์

- | | |
|----------------|--|
| b | ค่าปัจจัยการไฟลเข้าในแนวรัศมีของปีกหมุน |
| C _D | สัมประสิทธิ์แรงต้าน |
| C _L | สัมประสิทธิ์แรงยก |
| c | ความยาวครอฟ (m) |
| dD | แรงต้านในส่วนเล็กๆ ของปีก (m) |
| dF | แรงในระนาบการหมุนของปีก
ที่กระทำในส่วนเล็กๆ ของกลีบใบ (m) |
| dL | แรงยกในส่วนเล็กๆ ของกลีบใบ (m) |

dQ	แรงบิดที่เกิดขึ้นกับส่วนเล็กๆ ของกลีบใบ ($N.m$)	V_{la}	ความเร็วหนี่ยวนำในแนวแกน (m/s)
dr	ความหนาของส่วนเล็กๆ ของปีกที่พิจารณา (m)	α	มุมปะทะ (degree)
dT	แรงขับในส่วนเล็กๆ ของปีก (m)	β	มุมที่วัดจากระนาบการหมุนจนถึงเส้นแรงยกเป็นศูนย์ (degree)
Q	แรงบิด (N)	ρ	ความหนาแน่นของอากาศ (kg/m^3)
r	ระยะรัศมีจากจุดศูนย์กลางปีกหมุนของส่วนเล็กๆ ของปีกที่พิจารณา (m)	ϕ	มุมที่ความเร็วลัพธ์กระทำกับระนาบการหมุน (degree)
r_{tip}	รัศมีที่ปลายปีก (m)	Ω	ความเร็วเชิงมุมของใบพัด (rad/s)
r_{root}	รัศมีที่โคนปีก (m)		
T	แรงขับ (N)		
V_R	ความเร็วลัพธ์ของลมที่กระทำกับปีก (m/s)		